

# QUESTIONS SPÉCIALES DE RADIOPROTECTION

F. JAMAR

2000-2001

## SOURCES NON SCELLEES

### 1. PROTECTION DU PERSONNEL MNUC

- Catégories de personnel
- lieu de travail
- protection de la personne
- contrôle médical
- formation - information
- qualification
- Ces particularités
  - iodation
  - radiothérapie métabolique
  - PET (FDG-F<sup>18</sup>)
  - En dehors du service ...
- Modalités de protection
- Radio pharmacie

## 2. PROTECTION DU PUBLIC > MNUC

- Information Type
- Cas Particuliers
  - Concepts
  - Radioiode  $I^{131}$
  - Condition d'hospitalisation / décharge
  - Extension P.P.E ...

## 3. PROTECTION DU PATIENT

- CALCUL DE DOSIMÉTRIE
- PRINCIPALES ACTIVITÉS MNUC
- CONCEPTS et PERSPECTIVES

## 4. PROTECTION DE L'ENVIRONNEMENT

- DÉCHETS

## 1. PROTECTION DU PERSONNEL "MNOC"

### Champ d'application

Personnel chargé de la préparation, l'administration, du contrôle de qualité de produits radiochimiques.

techniciens

Personnel technique chargé de la réalisation des examens radioisotopiques

Personnel infirmier en charge de patients auxquels des sources non scellées ont été administrées.\*

Personnel d'accueil et de secrétariat amené à prendre en charge de tels patients

Personnel d'entretien, de surveillance et de contrôle

Visiteurs

Par extension, toute personne qui manipule des sources non scellées à des fins de recherche ou de production (industrie, chimie, pharmacie)

## Catégories de personnel

Personnes Professionnellement Exposées

Category A       $\geq 30\%$  Lim. Dose

Category B       $\geq 10\%$  ..

Apprentis - Etudiants       $> 18$  ans idem PPE  
 $< 18$  ans  $10\%$  Lim. Dose  
 $\left\{ \begin{array}{l} < 16 \text{ ans} \\ \text{non "PPE"} \end{array} \right.$  Public

Public : Personnel des zones contrôlée

Visiteurs : devraient être assimilés aux PPE  
(docteurin... )  
désignation pour établissements hospitaliers

## Lieu de travail

ZONE CONTRÔLÉE [Classe II]

...  $> 30\%$  Lim. Dose PPE ...

ZONE SURVEILLÉE

en majeure notion floue ...

car radioactivité "mobile"

certains laboratoires (Activités particule,  $\beta^-$ )

## Caractéristiques des locaux

- ventilation
- portes de sécurité (fermée mais ouverte en urgence)
- revêtements de sol et murs imperméables ('décontamination')
- signalisation
  - sigle Rad. (+ éventuellement "élevée")
  - sigle Isotope spécifique (ex. I<sub>131</sub>)
  - Avertissement GROSSEUR  
(Public vs Patient)
- locaux spécifiques
  - détection
    - ↳ entreposage
    - ↳ manipulation
    - ↳ déchets
  - isotopes particuliers (ex. émetteurs α)
  - I-125 Hotte (très volatil)
  - chambres de radiothérapie métastatique

Double réglementation (Hospitalière)

1. Biologique → Non biologique
2. Radioactif → non radioactif

Si pas d'organisation adéquate, le volume de déchets susceptibles d'être radioactifs\* devient rapidement difficilement gérable

→ Poubelles ordinaires : papier, matériel non contaminé ...

→ Poubelles "biologiques" faible radioactivité

→ Poubelles pour radioactivité élevée  
(comme demi-vies vs longues)

→ Poubelles pour objets dangereux (aiguille, venenois, ...)

Ceci implique :

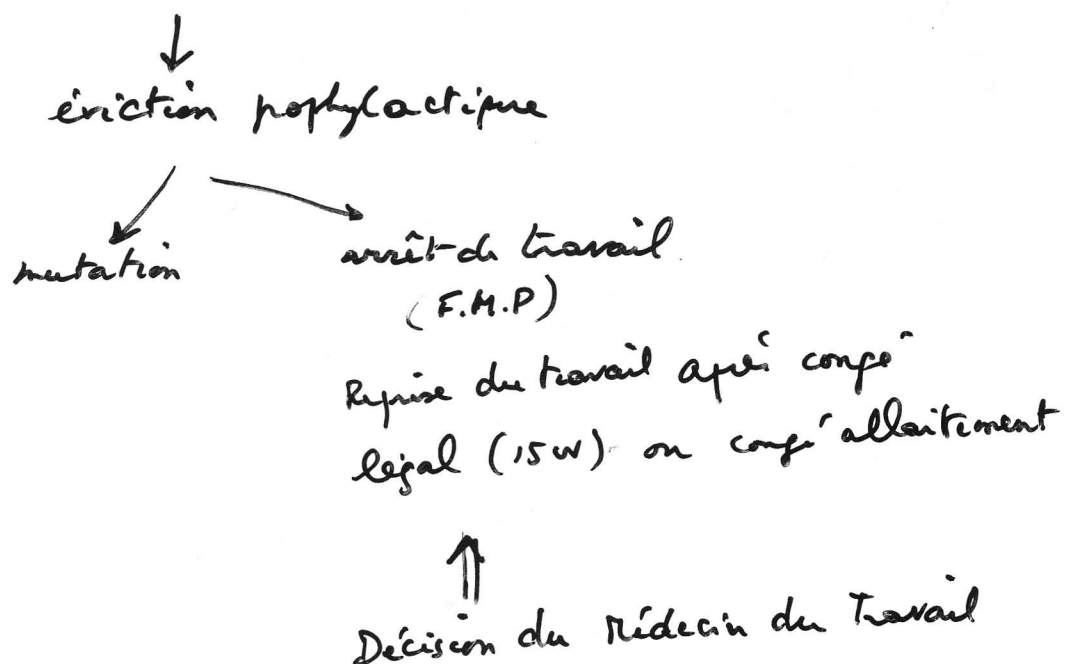
- mise à disposition adéquate du matériel
- formation du personnel en place
- formation du personnel d'entretien
- gestion des déchets RA\* sous contrôle du contrôleur

\* def: > bruit de fond naturel

## Protection de la femme

"Aucune femme enceinte, à partir de la déclaration de grossesse, et aucune femme en période d'allaitement, ne peut être affectée à un poste de travail qui ferait d'elle une personne professionnellement exposée"

⇒ "Dérivé Personne du Public"



Rév. USA

Après déclaration (volontaire, informé et non obligatoire, rétractable)

↳ autorisation de poursuite du travail si exposition inférieure à la limite de dose pour le public  
(+ norme < 0.5 mSv à l'année)

## Contrôle médical

8

Prérogatives (cf Règlement général pour la protection du travail : arrêté du 25.09.97)

- aptitude générale à l'emploi considérée
- maintien de l'aptitude mise à l'exposition
- évaluation et interprétation des données de dosimétrie et de contamination  
en collaboration avec le service de contrôle §

## En pratique

- 1 visite / 6 mois + télogramme
- anthropogrammétrie
- échantillon urinaire si exposition / contamination  $\beta^-$

## Qualification

### 1. Médecins et Pharmaciens (Siel - Radio.)

compétence acquise par formation universitaire incluant

- radiobiologie

- radioprotection (légitimation)

- radioprotection (professionnelle)

reconnaissance par jury médical

in vivo (méd.)	→ diagnostic	} recommandation individuelle
	→ thérapie app. non consciente	
	→ " " consciente (appréciation des locaux)	

### 2. Technologues

Jusqu'à présent, pas d'autorisation spécifique

→ technologies de laboratoire

→ technologies d'imagerie médicale (A.M. 1987)\*

Actuellement, obligation d'acquisition avant le 1.1.2004 (?)

une formation en radioprotection (50 + 10 h) pour

conserver l'autorisation (tacite) d'exercer cette fonction

Modalités en cours d'élaboration au niveau du Comité Technique de l'Opération Paramédicales en concertation avec

le jury médical & CSM

\* Formation inclut la radioprotection

### 3. Autres

10

Aucune formation spécifique requise

#### Formation - Information

- Obligation légale du chef d'entreprise (Art. 25. 1963)

... le chef d'entreprise organise, avant leur affectation au poste de travail, l'information des travailleurs susceptible d'être exposé aux rayonnements ionisants.

- Porte sur :

- risques du travail pour la santé + premiers soins
- horaires de repos / limites de dose, exposition concrète..;
- règle de bonne pratique
- signalisation
- consigne d'urgence
- importance de se conformer aux prescriptions techniques et médicales (cf. Contrôle E & A)  
+ info. spécifique protection & pronostic

A renouveler (+ adapter) ex/au g

- Formation

particulièrement pour le personnel ne possédant pas la qualification spécifique requise

# Principes générant de la protection

**GRAND PRINCIPE "Facteur de sécurité"**

Time  
Distance  
Shielding

## Time

- peut être raccourci au maximum si la tâche de manipulation est :
    - bien connue (expérience)
    - bien codifiée et documentée (log book)
    - bien préparée  
(ex: matériel froid prêt à l'avance)
  - il faut accepter et faire accepter le fait que le temps passe qui d'un patient injecté doit être aussi court que possible  
(ex: radioisotope)
  - il faut choisir les modes opératoires les plus efficaces en terme de temps.  
(ex: seringue plombée !)
  - Rotation du personnel  
préparation des doses,  
injections  
radiothérapie métastatique  
large vs faible énergie
- = POLYVALENCE

## Distance

1. Interruption d'accès si pas indispensable
2. Lors d'un contact-patient (= source)
 

Respect de la règle du Carré de la distance
3. Conception / organisation des locaux  
doit tenir compte du temps d'exposition potentiel  
(ex: salle d'attente)
4. Notion de "Sas" - "distance de sécurité"  
en particulier pour lentes énergies / activités

## Shielding

1. Maintien des sources voulées dans des conteneurs / armoires blindés
2. blindage adéquat en fonction de l'énergie
  - cf HVT → TVT
  - $Z_d$  bas ( $\beta^-$ ) vs  $Z_d$  élevé ( $\gamma$ )
3. Rgle de base :  $< 20 \mu\text{Gy/h}$  en surface
4. Déchets dans parcelles blindées
5. Transport dans coffret blindé
6. Effets de géométrie du blindage < béton

# Révention des contaminations

- Dispersion
  - manipulation du matériau imperméable recouvert d'un matériau absorbant amortisseur
  - élimination systématique et immédiate de tout matériel contaminé
  - avoir toujours à disposition immédiate un matériau absorbant
  - port de gants (à charge aussi souvent pas nécessaire)
  - rinçage abondant en cas de suspicion de contamination liquide (ex: projection)
- Déchets solides
  - en poussière

N.B. Toute source méconnue et suspecte d'influencer le fonctionnement de l'équipement !!
- Inhalation
  - exceptionnelle en MNOC.
  - Ca particule de l'I-125
    - utilisé pour iodation (protéine - peptide...)
    - T<sub>1/2</sub> 60j & 27.35 keV
    - Radiotoxicité élevée
    - Extrêmement volatile (très élevé pour marqué)
    - Hôte vivante
    - + Activation fluoridienne

## Divers

- interdiction de boire, manger, fumer, utiliser de produits cosmétiques dans zones contrôlées
- vestiaires ad hoc
- problème de la décontamination  
de la source de contamination  
(Baseline - Seign - Wipe test)  
→ exclusion de zone

## Cas particuliers

### Radiothérapie métabolique

- Caractéristiques :
  - Activités élevées
  - Emettent  $\beta^- \pm \gamma$  ( $I^{131}$ ,  $I^{132}$ ,  $\gamma^{90}$ ,  $P^{32}$ ,  $Sr^{89}$ )  
Areni  $^{203}Bi$ ,  $^{211}At$ ,  $^{165}Dy$ ,  $^{177}Lu$ , ...  
 $\gamma^B$ ,  $\gamma^C$ ,  $C'$ ,  $C''$ ,  $C'''$
- Problèmes pratiques
  - exécution  $\leftrightarrow$  contamination
  - irradiation de l'environnement + personnel
  - voie d'administration
    - orale (capsule)
    - i.v. (liposide)

- Précaution pour le personnel
  - , surtout pour • Contamination
    - ex: charme à radioiodé
  - exposition : Émissions gamma.  
( $I^{131}$ -  $I^{133}$ )
  - création d'une zone "SURCONTROLEE"
    - débits de dose  $\rightarrow$  400  $\mu\text{Gy/h}$  limite
  - utilisation d'un écran plastique
    - toxe  $\rightarrow$  genoux / idem Anesthésie Ie)
  - Processus de gestion des déchets / matériel
  - En pratique, les doses restent < LD moyenant la précaution d'usage

- Dangers
  - Incontinence urinaire
  - Vomissements
  - Nausées +++
  - Problèmes psychologiques liés à l'isolement
- Warning
  - Contamination "imprime" des contenants
    - $\rightarrow$  GANTS OBLIGATOIRES
  - inhalation : avec capsule  $I^{131}$  risque = 0

# PET

## Grands principes

- Photons haute énergie (511 keV)
- Biostimulation
- Démise à court et production par cyclotron  
→ Activité exponentielle à la circulation

ex 8 patients 10mCi 1/30 minutes  
production liaison 8 h 00  
injection 1er patient 10h00

$t_{inj}$	Act $t_{inj}$	Act produit-liné
10.00	10mCi	20
10.30	"	24
11.00	"	28
11.30	"	34
12.00	"	40
12.30	"	47
13.00	"	56
13.30	"	67
Total	80mCi	<u>317mCi</u>

Problèmes spécifiques	HVS	$T_c$	Moyens Recommandés
• Blindage / W	Pb 3.8 mm	0.3	
• Transport	2.6 mm	0.2	• Diméthipone
• Décharge			• Jeûne
			• Myoferiges

## Dose Engagée

Equivaut : ( $H_T(z)$ ) intégrale sur le temps du débit de dose  
 (Sv) équivalente au tissu ou à l'âge  $T$  qui sera reçu  
 par un individu à la fin de l'incorporation de matière  
 radioactive

$$H_T(z) = \int_{t_0}^{t_0+z} H_T(t) dt$$

Si  $z$  non précisé  $\rightarrow$  50 ans pour adultes  
 $\rightarrow$  70 - âge pour enfants

Efficace : ( $E(z)$ ) somme de doses équivalentes engagées dans les tissus  
 (Sv) multipliées par le facteur de pondération pour l'âge appuyé

$$E(z) = \sum_T w_T H_T(z)$$

## UTILITE

Evaluation de la dose par exposition intérieure dans un  
 contexte environnemental (épidémiologique)

Concept identique pour dosimétrie des patients (diagnostic ou  
 thérapeutique) mais calculs individuels

$H_T(z)$  et  $E(z)$  mesurés à partir de concepts de  
 distribution expérimentés

$$E = E_{\text{exterieur}} + \sum_j h(g_j) \cdot \text{ing}_j \cdot \text{ing} + \sum_j h(g_j) \cdot \text{inh}_j \cdot \text{inh}$$

$j$  = radionucléide     $g$  = group. d'âge     $h$  /Sv/Bq)

→ inhalation     $J_j \cdot \text{inh} = \text{activité}$  (Bq)  
 → ingestion     $J_j \cdot \text{ing} = \text{''} \quad \text{''}$

→ référence à des tables qui tiennent compte de

- Energie déposée par déintégration ( $E_{\text{des}}$ )
- facteur de production radiobiologique
- biodistribution standardisée (% biologique)

aucun compte n'est tenu de l'état physiologique du sujet (sauf âge / facteur tenu à part)

⇒ Evaluation de la dose interne par

- radionucléides tenus et actifs
- contamination de la chaîne alimentaire / eau
- accidents de contamination ( $\alpha, \beta$ )



pour émetteur gamma : dosimétrie individuelle ionisante

⇒ détermination des "concentrations délivrées dans le cadre des rejets de déchets radioactifs liquides et gazeux"

$$\rightarrow C_L = 1 \times 10^{-6} / \text{kg} \quad (\text{liquide})$$

$$C_{AL} = \frac{1 \times 10^{-3}}{h(\text{ad}) \cdot \text{inh} \times 8000}$$

Exemple :  $Po^{210}$

- Propriétés physiques :  $\alpha$ , 5,3 MeV, 138 j (spectro.  $\alpha$ )
- parlement rotatif
  - moyen rétrospectif du Ra

### Irradiation naturelle

$$\approx 0.3 \text{ mSv/an} > \text{nature}$$

$$\text{dont } 0.085 > Po^{210} (1 \mu\text{Sv/an inhalation})$$

le reste par ingestion  
(boisson, nourriture...)

↑ concentration élevée dans certaines industries (aciéries, charbon, distillation gaz...)

<u>Coefficients h</u>	(adulte)	ingestion	$1.2 \cdot 10^{-6} \text{ Sv/Bq}$	desubst.
		$100 \text{ Bq} = 0.12 \text{ mSv}$		$f=0.5$
		inhalation	$3.3 \cdot 10^{-6} \text{ Sv/Bq}$	absorption 0.2

Affaire Litvinenko (nov. 2006)

⇒ mesure rétrospective par échantillon urinaire

⇒ calcul de dose engagée efficace.

Soit  $1 \text{ Bq Po}^{210}$  de urine 24 h

$\rightarrow t_{1/2 \text{ SiO}} = 50 \text{ j} \rightarrow 1.5\% \text{ excretion / j}$   
 $\hookrightarrow 0.5\% \text{ par urine}$

$\Rightarrow 200 \text{ Bq dans le corps}$

$\rightarrow$  plusieurs semaines ne sont écoulées, disons...  
facteur 2

$\Rightarrow 400 \text{ Bq dans le corps au départ}$

$\rightarrow$  facteur d'absorption digestive ( $f_1 = 0.1$ )

$\Rightarrow 4000 \text{ Bq ingérés}$

$$E_{(T)} = 4000 \times 0.24 \cdot 10^{-6} = 960 \mu\text{Jv ramsv}$$

$\hookrightarrow$  coefficient pour travailleur

Cas de Litvinenko (11/11/06)

Achatukh'  $\sim 16 \text{ Bq}$  ( $6 \mu\text{g}$  de du Rb)

$\hookrightarrow$  dose effective engagée =  $240 \text{ Sr}$

$\rightarrow$  dose aux 1/11 3 SV

23/11 2.5 SV

$1 \rightarrow 23/11 \sim 60 \text{ SV}$

Soit  $60/20 = 3 \text{ Gy} \times \text{RBE}(4) = 12 \text{ Gy}$

pour effet deterministic

$\sim 10 \times$  dose letale

# La Problématique du Radon.

- Pourquoi un cas particulier - ?

## 1. Problème MONDIAL

Modèle naturel d'irradiation intime à grande échelle

↳ aspects épidémiologiques facilités  
mais ! route très difficile

⇒ Radiophysique

? Épidémiologie  
grandes variations 1 → 1000 !

2. Radon = gaz mortel, inodore, "inopposable"

⇒ Pas de mesure de protection possible  
vs Radon. solides

✓ volatile vs ✓ solide

3. Problème éternel... ( $\gamma$  decay)

4. Actions / Interventions possibles

Problème de l'amélioration des habitation ...

## 2/ Données Physiques

- $T_{1/2} = 4j$
- Multijets radionucléides fils ( $^{164}\text{puce} \rightarrow ^{138}\text{j}$ )
- Emission  $\alpha$
- $^{226}_{88}\text{Ra} \xrightarrow{\alpha} ^{222}_{86}\text{Rn}$
- Ces particules du "thorium"  $^{220}_{\text{Ra}} (> \text{Th}^{232})$
- Origine  $^{238}_{\text{Uranium}} (4.5 \cdot 10^9 \text{ ans})$   
 $^{226}_{\text{Radium}} (1622 \text{ ans})$   
 $^{230}_{\text{Thorium}} (76.000 \text{ ans})$

Présents dans le sol  
Ont été exploités à des fins économiq., militaires, médicales  
par tonnes de Pitchblende et Th. Annie

- Énergie 5.5 MeV

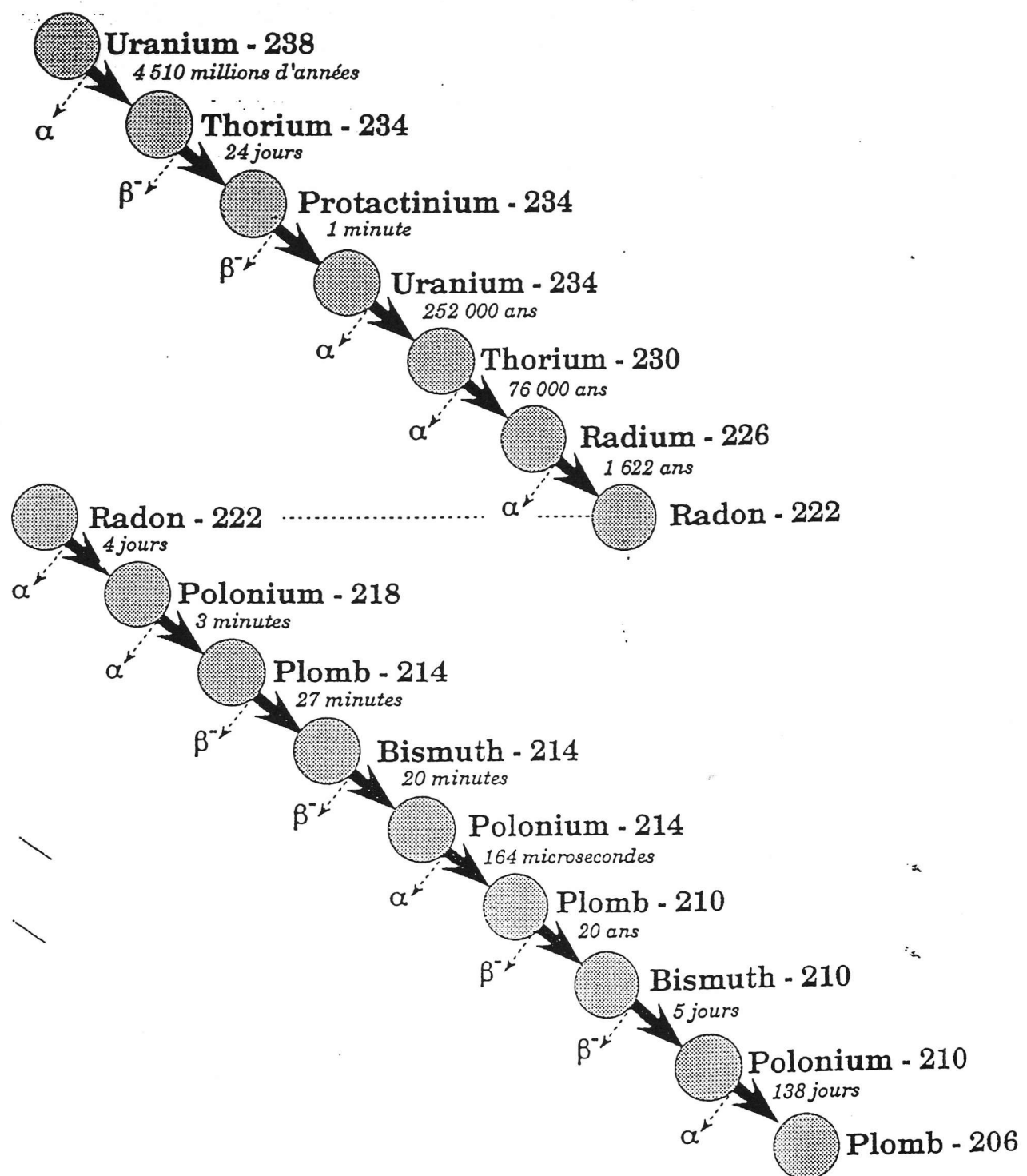


Fig. 1

Décroissance radioactive de l'uranium-238. La chaîne, qui commence avec l'uranium-238 et se termine avec le plomb-206, comporte 15 étapes au cours desquelles différents radionucléides sont produits et parmi eux le radon. Pour chaque type de réaction, les particules émises ( $\alpha$  ou  $\beta^-$ ) ainsi que la période sont indiquées (8).

## 2/ Données Environnementales

→ SOURCE PRINCIPALE = SOL

- via forages - creusements
- infiltration d'eau
- dalles pavées

alimentation

- tene de distiller / remonter

- matériau de construction Plastique  
↳ protection par peinture  
(< 20% in Belg)

Sources occasionnelles

- mine Uranium  
Rutile  
Radium  
autres (fluorite, suède)
- industries de transformation

→ Mode d'accumulation

- à l'air libre [ ] nagent parties ou débris +++
- confinement habitation grès  
" plastique ) lieu de travail  
mine mal ventilées +++

→ Répartition géographique

Distribution ubiqüitaire

Variation locale relativement faible

ex: Sillon Sambre et Meuse Nord :  $40 \text{ Bq/m}^3$   
Sud :  $400 \text{ Bq/m}^3$

Influence du niveau socio-économique

Plus les habitation sont bien isolées et protégées (poste du coût de l'énergie 1970s), plus les [ ] à l'intérieur sont élevées

Extérieur

1-20  $\text{Bq/m}^3$

Intérieur (Be)

$\overline{53}$   $\text{Bq/m}^3$

mais 5-5000  $\text{Bq/m}^3$

(3e)

22 ( $n=20.000$ )  $> 400 \text{ Bq/m}^3$

10% ( $n=100.000$ )  $> 200 \text{ Bq/m}^3$  ) sud

$\rightarrow 18$  sud

134 - 0E

20-60  $\text{Bq/m}^3$

Fin. Marne

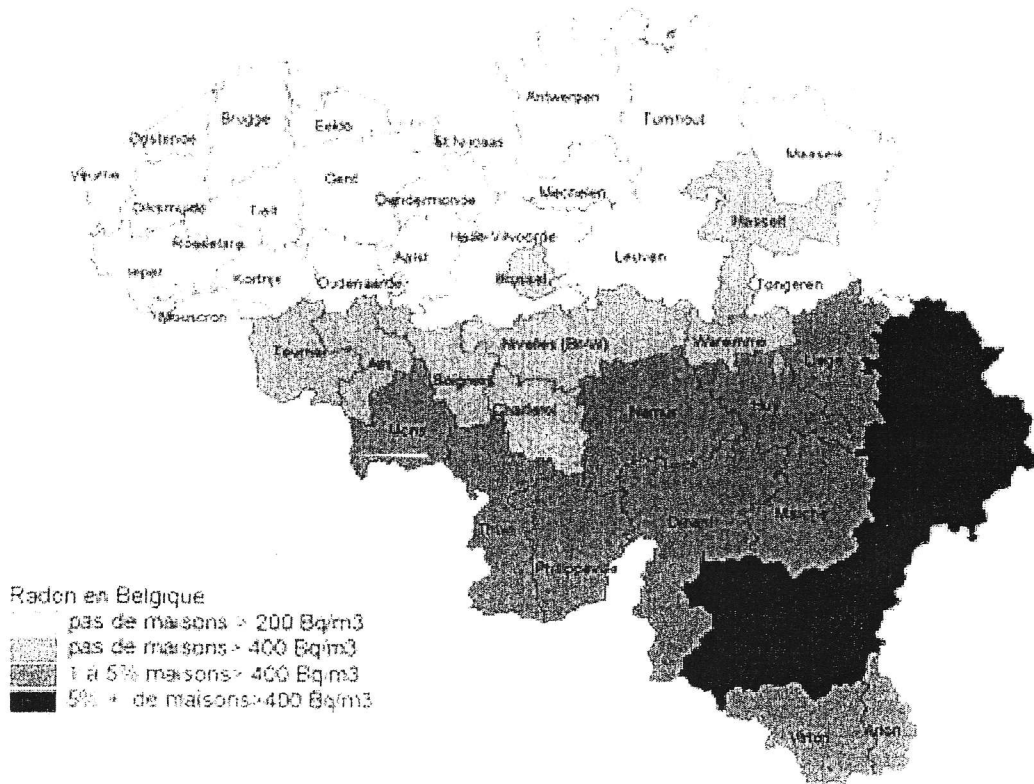
100  $\text{Bq/m}^3$

0.54

82 ( $6.0^\circ$ )  $> 160 \text{ Bq/m}^3$

carte\_radon\_fr.jpg (450x345x24b jpeg)

## Radon en Belgique



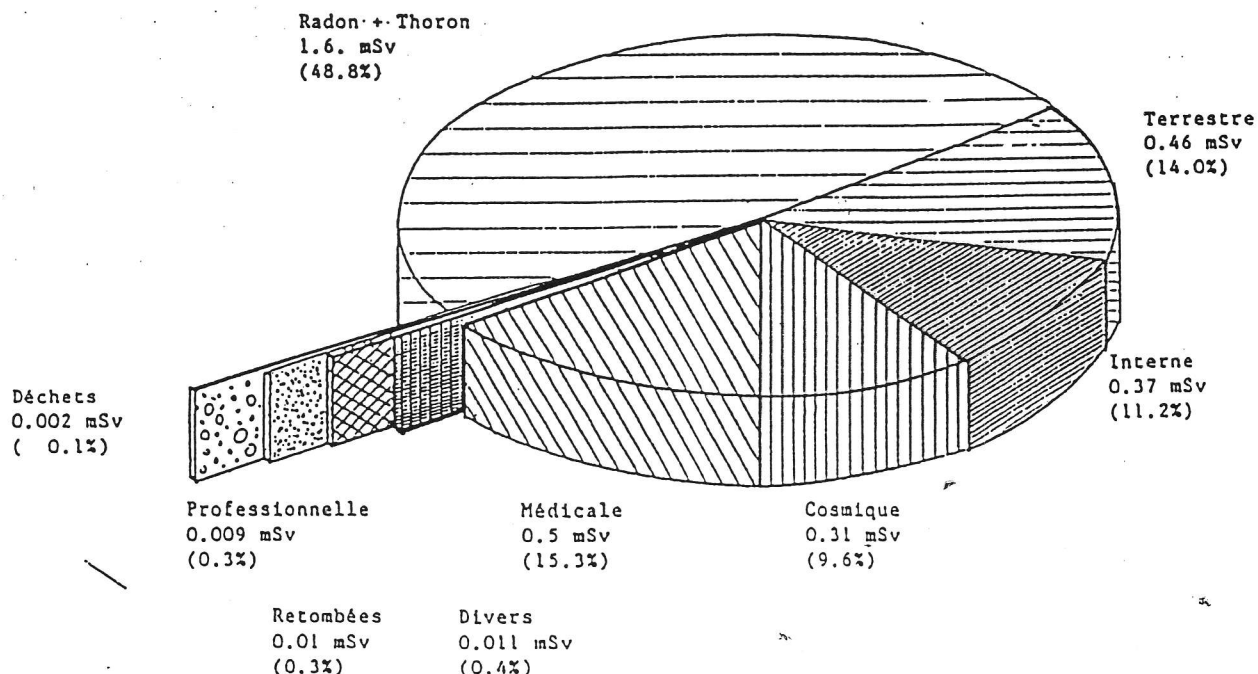


Fig. 2

Exposition annuelle aux radiations ionisantes de la population de la Communauté Européenne en conditions normales (d'après (1))

TABLE 14.1. Annual Effective Dose in the US Population Circa 1980–1982

Source	Thousands of Persons Exposed	Average Annual Effective Dose in Exposed Population, mSv <sup>a</sup>	Annual Collective Effective Dose, person-Sv <sup>b</sup>	Average Annual Effective Dose in US Population, mSv <sup>c</sup>
Natural sources				
Radon	230,000	2.0	460,000	2.0
Other	230,000	1.0	230,000	1.0
Occupational	930 <sup>d</sup>	2.3	2,000	0.009
Nuclear fuel cycle	—	—	136	0.0005
Consumer products				
Tobacco <sup>d</sup>	50,000	—	—	—
Other	120,000	0.05–0.3	12,000–29,000	0.05–0.13
Miscellaneous environmental sources	~25,000	0.006	160	0.0006
Medical				
Diagnostic x-rays	— <sup>e</sup>	—	91,000	0.39
Nuclear medicine	— <sup>f</sup>	—	32,000	0.14
Rounded total	230,000	—	835,000	3.6

<sup>a</sup>1 mSv = 100 mrem.

<sup>b</sup>1 person-Sv = 100 person-rem.

<sup>c</sup>Those nominally exposed total  $1.68 \times 10^6$ .

<sup>d</sup>Effective dose equivalent difficult to determine; dose to a segment of bronchial epithelium estimated to be 0.16 Sv/y (16 rem/y).

<sup>e</sup>Number of persons exposed is not known. Number of examinations was 180 million and effective dose per examination 500  $\mu$ Sv.

<sup>f</sup>Number of persons exposed is not known. Number of examinations was 7.4 million and effective dose per examination 4,300  $\mu$ Sv.

Data from National Council on Radiation Protection and Measurements: Exposure of the Population in the United States to Ionizing Radiation. Report No. 93. Bethesda, MD, NCRP, 1987.

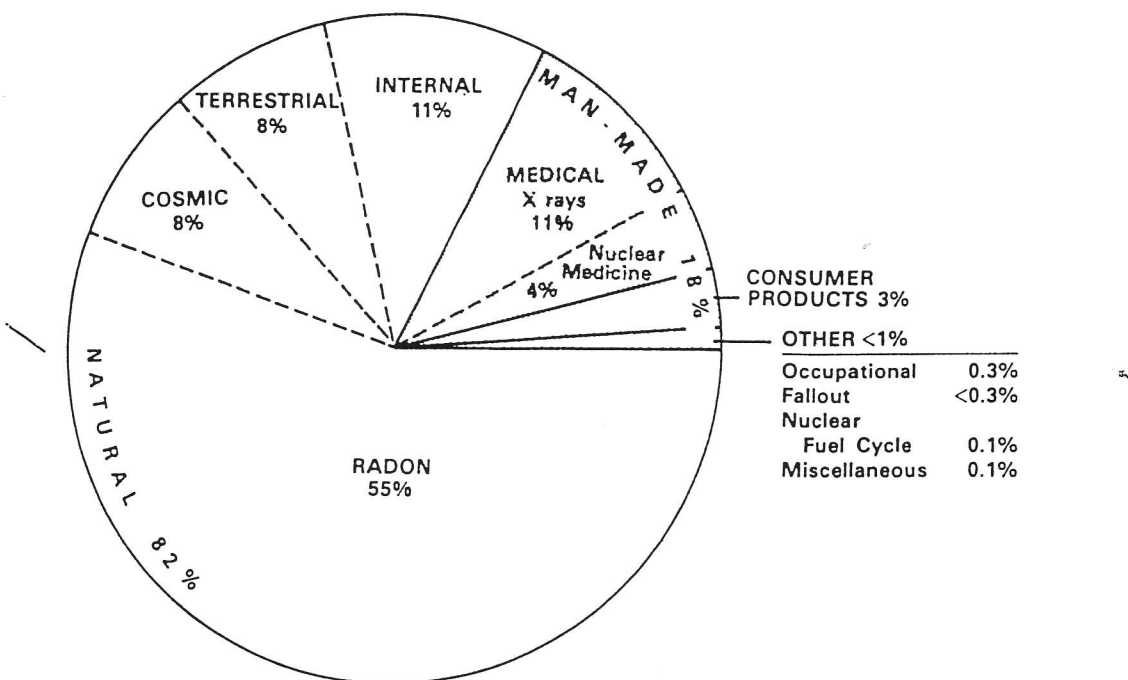


Figure 14.5. This pie diagram, which appeared in 1987, showed for the first time that the average effective dose to the population of the United States is dominated by indoor radon daughter products. The effective dose, of course, is the dose in grays (or rads), multiplied by the radiation weighting factor, which is 20 for the  $\alpha$ -particles emitted by radon daughter products, and multiplied by the tissue weighting factor, which is about 0.12 for the lungs. The annual effective dose to the U.S. population is about 3.6 mSv (360 mrem). More than one half of this is a result of radon, and altogether 82% comes from natural sources. Medical x-rays contribute only 11% and nuclear medicine 4%. (From National Council on Radiation Protection and Measurements: Ionizing Radiation Exposure of the Population of the United States. NCRP Report 93, Bethesda, MD, 1987.)

exemple extrême

Stanley Watras (USA)

↓  
trouche travail de industrie nucléaire

↓  
réfute car déclenche les alarmes

⇒ tue lents [ ] maison + vêtements (produits de décr.)

→ Contribution à l'irradiation "naturelle"

Communauté Européenne 49 % de 3.3 mSv / an

$$= 1.6 \text{ mSv}$$

autre estimation (Be)  $2.1 \text{ mSv} + 0.25 (\text{Ra-Tn})$  maison & belge  
USA 55 % de 3.6 mSv / an

Pour comparaison irradiation naturelle (autres sources)

$$\pm 11 \% (\sim 300-400 \mu\text{Sv})$$

origine: Ra, U, Cs, Th, Po, Pb...  $10 \mu\text{Sv} / \text{an}$

$^{40}\text{K}$

$200 \mu\text{Sv} / \text{an}$

Contribution du tabac ? inconnue  $\approx$  totalité de l'exposition  
(Pb, Po)

## 3/ Données Épidémiologiques

### 1. Facteur de Conversion en dose

Rapp : la dose provient des produits de fission  
mais il existe une proportionnalité directe  
entre la dose et la [ ] en Rn

$$ED = \frac{1 \text{ mSv}}{\text{an}} \text{ pour } [ ] \text{ continue de } 20 \text{ Bq/m}^3$$

Rapp Ancienne Unité

WLM Waking Month Level

$$170 \text{ h/mois } 3700 \text{ Bq/m}^3$$

$$\downarrow \\ = 400 \text{ Bq/m}^3 \text{ pendant 6 mois}$$

(Méd travail - Epidémio)

! Enfant < 1 an ED + 50%

Radon = gaz d'origine via voie respiratoire

Pb-Po-Bi = stade où se fixe au epithélium respiratoire bronchique

## Unités de calcul

$C_p = \text{concentration} \xrightarrow{i \in C_i} \left( \frac{E_i}{\lambda_i} \right) \text{J/m}^3$        $C_i = [\text{J molaire}]$

$C_{eq} = \text{concentration équivalente à l'équilibre}$        $Bq/m^3$

$E_p / \lambda c = \text{énergie potentielle par Bq}$        $Rn \Leftrightarrow fil.$

$$1 Bq Rn = 55.6 \cdot 10^{-10} J/Bq$$

$$= 31710 \text{ MeV/Bq}$$

$P_t = \text{exposition en énergie et potentielle}$        $J \text{J}h/m^3$  ( $\text{y} \text{ WLM}$ )

$F = \text{facteur d'équilibre}$        $\frac{C_{eq}}{C_{Rn}} \approx 0.4$  (CIPR 65)

$P_{eq} = \text{exposition équivalente à l'équilibre}$        $Bq.h/m^3$

$E_p = \text{énergie potentielle par atome}$  (MeV)

$C_{Rn} \rightarrow C_{eq} \rightarrow P_{eq} \rightarrow P_{Rn}$

$$1 Bq.h/m^3 = 1 \cdot 10^{-5} \text{ mSv}$$

$$\Rightarrow 1 \text{ WLM} = 6.3 \text{ mSv}$$

$$\begin{aligned} \text{Ex} \quad & 5.56 \cdot 10^{-9} \times 0.4 \times 7000 \times 100 \\ & \text{J.Bq}^{-1} \quad h \quad Bq/m^3 \\ & = 1.43 \text{ mJ.h/m}^3 \end{aligned}$$

= 1.43 mSv intégrés sur 1 an

Soit  $1.43 \cdot 10^{-2} \text{ mJ.h.m}^{-3}$

$1 \text{ WLM} = 3.54 \text{ mJ.h.m}^{-3}$

pour  $1 Bq/m^3$   
 $(170 h/m \cdot 3700 Bq/m^3)$

# CONVERSION FACTORS FOR RADON UNITS

## INTRODUCTION

The following conversion factors are useful for converting between units commonly used for the measurement of radon and radon decay products. For some conversion factors the following assumptions have been made and are indicated in parentheses beside the units.

- (a) the equilibrium ratio between radon progeny and the parent radon is 0.5
- (b) the dwelling occupancy factor is 100%
- (c) the dose conversion coefficient is  $1 \times 10^{-3}$  mSv per Bq.h.m.<sup>-3</sup> EER  
(equilibrium equivalent radon concentration - ICRP-50, sec. 3.3.)
- (d) 1 WLM is 1 WL for 170 h  
1 WLM =  $6.3 \times 10^5$  Bq.h.m.<sup>-3</sup> EER  
 $1 \text{Bq.h.m}^{-3} \text{EER} = 1.60 \times 10^{-6}$  WLM  
(ICRP-50, section A.5)

## ACTIVITY

- 1 becquerel (Bq) = 1 disintegration per second (s<sup>-1</sup>)
- 1 curie (Ci) =  $3.7 \times 10^{10}$  Bq
- 1 picocurie (pCi) = 0.037 Bq
- 1 becquerel (Bq) = 27 pCi

## RADON CONCENTRATION

becquerel per cubic metre

$$\begin{aligned} 1 \text{Bq.m}^{-3} &= 2.7 \times 10^{-2} \text{ pCi.L}^{-1} \\ &= 1.35 \times 10^{-4} \text{ WL} \quad (\text{a}) \\ &= 0.5 \text{ Bq.m}^{-3} \text{ EER} \quad (\text{a}) \end{aligned}$$

picocurie per litre

$$\begin{aligned} 1 \text{pCi.L}^{-1} &= 37 \text{ Bq.m}^{-3} \\ &= 5 \times 10^{-3} \text{ WL} \quad (\text{a}) \\ &= 18.5 \text{ Bq.m}^{-3} \text{ EER} \quad (\text{a}) \end{aligned}$$

## RADON PROGENY CONCENTRATION

Working Level

$$\begin{aligned} 1 \text{WL} &= 7.4 \times 10^3 \text{ Bq.m}^{-3} \quad (\text{a}) \\ &= 3.7 \times 10^3 \text{ Bq.m}^{-3} \text{ EER} \\ &= 2.0 \times 10^2 \text{ pCi.L}^{-1} \quad (\text{a}) \\ 0.02 \text{WL} &= 1.48 \times 10^2 \text{ Bq.m}^{-3} \text{ EER} \quad (\text{a}) \\ &= 4 \text{ pCi.L}^{-1} \quad (\text{a}) \end{aligned}$$

becquerel per cubic metre, EER

$$\begin{aligned} 1 \text{Bq.m}^{-3} \text{ EER} &= 2 \text{ Bq.m}^{-3} \\ &= 5.4 \times 10^{-2} \text{ pCi.L}^{-1} \\ &= 2.7 \times 10^{-4} \text{ WL} \end{aligned}$$

## POTENTIAL ALPHA ENERGY CONCENTRATION

$$\begin{aligned} 1 \text{ Working Level (WL)} &= 1.3 \times 10^5 \text{ MeV.L}^{-1} \\ &= 2.08 \times 10^{-5} \text{ J.m}^{-3} \end{aligned}$$

1 WL corresponds to radon progeny concentration in equilibrium with 100 pCi.L<sup>-1</sup> radon (3700 Bq.m<sup>-3</sup>)

## RADON, RADON PROGENY EXPOSURE

Average of 1 becquerel per cubic metre Rn for a year

$$\begin{aligned} 1 \text{Bq.m}^{-3}\text{y} &= 4.38 \times 10^{-2} \text{ mSv} \quad (\text{a,b,c,d}) \\ &= 7.0 \times 10^{-3} \text{ WLM} \quad (\text{a,b,d}) \\ &= 8.76 \times 10^3 \text{ Bq.h.m}^{-3} \end{aligned}$$

Average of 1 picocurie per litre radon for a year

$$\begin{aligned} 1 \text{pCi.L}^{-1}\text{y} &= 1.62 \text{ mSv} \quad (\text{a,b,c,d}) \\ &= 0.26 \text{ WLM} \quad (\text{a,b,d}) \\ &= 3.24 \times 10^5 \text{ Bq.h.m}^{-3} \end{aligned}$$

Average of one Working Level for a year

$$\begin{aligned} 1 \text{WLy} &= 51.53 \text{ WLM} \\ &= 6.48 \times 10^7 \text{ Bq.h.m}^{-3} \quad (\text{a,b,d}) \\ &= 3.24 \times 10^7 \text{ Bq.h.m}^{-3} \text{ EER} \quad (\text{a,b,d}) \\ &= 1.75 \times 10^6 \text{ pCi.h.L}^{-1} \quad (\text{a,b,d}) \\ &= 324 \text{ mSv} \quad (\text{a,b,c,d}) \end{aligned}$$

Average of 1 becquerel per cubic metre, equilibrium equivalent Rn concentration for a year

$$\begin{aligned} 1 \text{Bq.m}^{-3}\text{EER.y} &= 8.76 \times 10^{-2} \text{ mSv} \quad (\text{a,b,c,d}) \\ &= 1.4 \times 10^{-2} \text{ WLM} \quad (\text{a,b,d}) \\ &= 1.75 \times 10^4 \text{ Bq.h.m}^{-3} \quad (\text{a,b,d}) \\ &= 8.76 \times 10^3 \text{ Bq.h.m}^{-3}\text{EER} \quad (\text{a,b,d}) \end{aligned}$$

## 2. Evaluation du risque

→ CIPR      Population       $5 \cdot 10^{-2} \text{ Sv}^{-1}$   
                  Travailleurs       $4 \cdot 10^{-2} \text{ Sv}^{-1}$

Dose moyenne belge = 0.7% cancers mortels

→ Données historiques

- mines Uranium      (Saxe, Tchéquie, Slovénie)
- Radium      (Tchéquie)
- Fer      (mine de fer)
- Fluorite      (Terre Neuve)

### ↗ CANCER POUMON

Mais Cancer du Poumon = fréquent

$$\Delta [ ] \geq 200 \text{ Bq } \text{m}^{-3} = \text{F cancer} \uparrow$$

- BELGIQUE . 14% cancers du poumon  
0.5% risque vie entière
- . ↑ relative et risque = pour fumeurs et non fumeurs  
→ en Absolu, Risque supérieur pour fumeurs  
"Radon-induit" → 0.1% risque vie entière Non Fumeurs  
1% " " " Fumeurs

effet (tableau 1). La participation à une analyse conjointe de 11 cohortes de mineurs, coordonnée par le National Cancer Institute aux U.S.A. [Lubin 1994], a permis d'établir une estimation de risque plus précise. Cette analyse conjointe, fondée sur 2 620 décès par cancer du poumon, a confirmé l'existence d'une relation linéaire entre risque et exposition ; l'excès de risque relatif<sup>2</sup> obtenu est de 0,49 % par unité d'exposition (WLM) avec un intervalle de confiance à 95% se situant entre 0,2 % et 1 % (tableau 1). Cet excès de risque diminue en fonction de l'âge atteint et du temps écoulé depuis la fin de l'exposition. Ainsi, il apparaît que le risque associé à une exposition reçue il y a plus de 30 ans est quasiment nul.

Le suivi de la cohorte des mineurs d'uranium français continue. Une nouvelle analyse a été effectuée sur une cohorte élargie incluant plus de 5 000 mineurs, suivie jusqu'à fin 1994. Les résultats confirment l'augmentation du risque de cancer du poumon, pour une exposition moyenne de la cohorte égale à 37 WLM. L'excès de risque relatif estimé est de 0,8% par WLM. L'analyse de ces résultats est actuellement discutée dans le cadre d'un programme européen coordonné par le laboratoire d'épidémiologie de l'IRSN, vise à réaliser une analyse sur plus de 10 000 mineurs tchèques, français et allemands, ces mineurs ayant tous eu un suivi dosimétrique individuel de qualité. Dans le même programme sera également analysé l'ensemble des données d'expérimentations animales en rapport avec le radon. La synthèse de ces résultats permettra de discuter le modèle de cancérogenèse sous-jacent et de réunir un maximum d'informations sur les effets associés à de faibles expositions chroniques.

**Tableau 1 : Radon et cancer du poumon dans 11 cohortes de mineurs d'après [Lubin 1997]**

Localisation	Type de mine	Effectif	Suivi moyen (années)	Personnes -années	Exposition moyenne (WLM)	Décès par cancer du poumon	Excès de Risque Relatif moyen (% / WLM)
Chine	Etain	13 649	10	135 357	277	936	0,16 [0,1 – 0,2]
Tchécoslovaquie	Uranium	4 284	25	103 652	199	656	0,34 [0,2 – 0,6]
Colorado	Uranium	3 347	25	75 032	807	327	0,42 [0,3 – 0,7]
Ontario	Uranium	21 346	18	319 701	31	282	0,89 [0,5 – 1,5]
Terre Neuve	Fluorine	1 751	23	35 029	367	112	0,76 [0,4 – 1,3]
Suède	Fer	1 294	26	32 452	81	79	0,95 [0,1 – 4,1]
Nouveau Mexique	Uranium	3 457	17	46 797	110	68	1,72 [0,6 – 6,7]
Beaverlodge (CA)	Uranium	6 895	14	68 040	17	56	2,21 [0,9 – 5,6]
Port Radium (CA)	Uranium	1 420	25	31 454	243	39	0,19 [0,1 – 0,6]
Radium Hill (AU)	Uranium	1 457	22	25 549	8	32	5,06 [1,0 – 12,2]
France	Uranium	1 769	25	39 487	69	45	0,36 [0,0 – 1,3]
<b>Total</b>		<b>60 570</b>	<b>17</b>	<b>908 983</b>	<b>162</b>	<b>2 620</b>	<b>0,49 [0,2 – 1,0]*</b>

\* Intervalle de confiance de 95%

<sup>2</sup> Excès de risque relatif = part de risque ajoutée par rapport à celui de même nature encouru par un individu non exposé ; un excès de risque relatif de 100% signifie que le risque est doublé.

**Tableau 2 : Radon et cancer du poumon : bilan des études cas-témoins publiées**

Auteur	Année	Pays	Population	Effectifs	Mesure de l'exposition	Risque Relatif <sup>(a)</sup>	Intervalle de confiance à 95%
Schoenberg	1990	USA (New Jersey)	femmes	480 cas, 442 témoins	1 an	1,49	0,89-1,89
Blot	1990	Chine	femmes	308 cas, 356 témoins	1 an	0,95	Non défini-1,08
Pershagen	1992	Suède	femmes	201 cas, 378 témoins	1 an	1,16	0,89-1,92
Pershagen Lagarde Letourneau	1994 1997 1994	Suède Canada	-	1281 cas, 2576 témoins 738 cas, 738 témoins	3 mois 1 an	1,10 1,17 <sup>(b)</sup> 0,98	1,01-1,22 <sup>(c)</sup> 1,03-1,37 0,87-1,27
Alavanja	1994	USA (Missouri)	femmes, non fumeuses	538 cas, 1183 témoins	1 an	1,08	0,95-1,24
Auvinen	1996	Finlande		517 cas, 517 témoins	1 an	1,11	0,94-1,31
Ruosteenoja	1996	Finlande	hommes	164 cas, 331 témoins	2 mois	1,80	0,90-3,50
Darby	1998	Grande Bretagne	-	982 cas, 3185 témoins	6 mois	1,08 1,12 <sup>(c)</sup>	0,97-1,20 0,95-1,33
Alavanja	1999	USA (Missouri)	femmes	247 cas, 299 témoins 372 cas, 471 témoins	1 an	0,85 <sup>(d)</sup> 1,63 <sup>(e)</sup>	0,73-1,00 1,07-2,93
Field	2000	USA (Iowa)	femmes	413 cas, 614 témoins	1 an	1,24	0,95-1,92
Wichmann	2000	Allemagne (Est)		1053 cas, 1667 témoins	1 an	1,04	0,96-1,12
Kreienbrock	2001	Allemagne (Ouest)	-	1449 cas, 2297 témoins	1 an	0,97 <sup>(f)</sup> 1,09 <sup>(g)</sup>	0,82-1,14 0,86-1,38
Pisa	2001	Italie	-	138 cas, 291 témoins	1 an	1,40	0,3-6,6
Lagarde	2001	Suède	non-fumeurs	436 cas, 1649 témoins	3 mois	1,10	0,96-1,38
Wang	2002	Chine	-	768 cas, 1659 témoins	1 an	1,19	1,05-1,47
Barros-Dios	2002	Espagne	-	159 cas, 237 témoins	90 jours min	-	-
Lagarde	2002	Suède		110 cas, 231 témoins	3 mois	1,33 <sup>(d)</sup> 1,75 <sup>(e)</sup>	0,88-3,0 0,96-5,30

(a) pour une exposition à 100 Bq/m<sup>3</sup>

(b) après prise en compte des erreurs de mesure

(c) après prise en compte des erreurs de mesure

(d) analyse fondée sur des dosimètres traditionnels

(e) analyse fondée sur des mesures sur des objets en verre

(f) ensemble de la région d'étude, période 5-15 années avant inclusion dans l'étude

(g) régions à fort potentiel d'exhalation de radon, période 5-15 années avant inclusion dans l'étude

A l'échelle européenne, une analyse conjointe portant sur près de 10 000 cas de cancer du poumon et un nombre équivalent de témoins est actuellement en cours de réalisation, sous la direction de l'université d'Oxford. Elle apporte une plus grande puissance statistique à l'estimation de la pente de la relation dose-effet. Cette analyse conjointe étudiera également les interactions entre radon et tabac : en effet, les résultats relatifs aux mineurs sont plutôt en faveur d'une action synergique, multiplicatrice des deux cancérogènes ; en d'autres termes, le fait d'inhaler la fumée de tabac et les descendants du radon produirait des effets plus qu'additifs.

### 3. Risques autres que le cancer du poumon

Les études sur les mineurs d'uranium n'ont pas montré d'augmentation de risque en fonction de l'exposition cumulée au radon pour des cancers autres que le cancer du poumon [Darby 1995]. Depuis les années 1990, plusieurs auteurs ont estimé qu'une partie de l'irradiation due à l'inhalation de radon peut être délivrée au niveau de la moelle osseuse hématopoïétique. L'hypothèse a été émise que cette irradiation pourrait entraîner un risque accru de leucémie chez l'homme. Une telle association est supportée par les résultats de certaines études écologiques. Néanmoins, les études de cohortes sur les mineurs d'uranium ou les études cas-témoins qui ont été réalisées n'ont pas confirmé l'existence d'une relation entre l'exposition au radon et le risque de leucémie. Une revue critique de la littérature scientifique a été effectué récemment par l'IRSN [Laurier 2001]. Elle conclut que l'ensemble des

# Papers

## Radon in homes and risk of lung cancer: collaborative analysis of individual data from 13 European case-control studies

S Darby, D Hill, A Auvinen, J M Barros-Dios, H Baysson, F Bochicchio, H Deo, R Falk, F Forastiere, M Hakama, I Heid, L Kreienbrock, M Kreuzer, F Lagarde, I Mäkeläinen, C Muirhead, W Oberaigner, G Pershagen, A Ruano-Ravina, E Ruosteenaja, A Schaffrath Rosario, M Tirmarche, L Tomášek, E Whitley, H E Wichmann, R Doll

### Abstract

**Objective** To determine the risk of lung cancer associated with exposure at home to the radioactive disintegration products of naturally occurring radon gas.

**Design** Collaborative analysis of individual data from 13 case-control studies of residential radon and lung cancer.

**Setting** Nine European countries.

**Subjects** 7148 cases of lung cancer and 14 208 controls.

**Main outcome measures** Relative risks of lung cancer and radon gas concentrations in homes inhabited during the previous 5-34 years measured in becquerels (radon disintegrations per second) per cubic metre ( $\text{Bq}/\text{m}^3$ ) of household air.

**Results** The mean measured radon concentration in homes of people in the control group was  $97 \text{ Bq}/\text{m}^3$ , with 11% measuring  $> 200$  and 4% measuring  $> 400 \text{ Bq}/\text{m}^3$ . For cases of lung cancer the mean concentration was  $104 \text{ Bq}/\text{m}^3$ . The risk of lung cancer increased by 8.4% (95% confidence interval 3.0% to 15.8%) per  $100 \text{ Bq}/\text{m}^3$  increase in measured radon ( $P = 0.0007$ ). This corresponds to an increase of 16% (5% to 31%) per  $100 \text{ Bq}/\text{m}^3$  increase in usual radon—that is, after correction for the dilution caused by random uncertainties in measuring radon concentrations. The dose-response relation seemed to be linear with no threshold and remained significant ( $P = 0.04$ ) in analyses limited to individuals from homes with measured radon  $< 200 \text{ Bq}/\text{m}^3$ . The proportionate excess risk did not differ significantly with study, age, sex, or smoking. In the absence of other causes of death, the absolute risks of lung cancer by age 75 years at usual radon concentrations of 0, 100, and  $400 \text{ Bq}/\text{m}^3$  would be about 0.4%, 0.5%, and 0.7%, respectively, for lifelong non-smokers, and about 25 times greater (10%, 12%, and 16%) for cigarette smokers.

**Conclusions** Collectively, though not separately, these studies show appreciable hazards from residential radon, particularly for smokers and recent ex-smokers, and indicate that it is responsible for about 2% of all deaths from cancer in Europe.

### Introduction

In many countries exposure in the home to short lived radioactive disintegration products of the chemically inert gas radon-222 is responsible for about half of all non-medical exposure to ionising radiation.<sup>1</sup> Radon-222 arises naturally from the decay of uranium-238, which is present throughout the earth's crust. It has a half life of four days, allowing it to diffuse through soil and into the air before decaying by emission of an  $\alpha$  particle

into a series of short lived radioactive progeny. Two of these, polonium-218 and polonium-214, also decay by emitting  $\alpha$  particles. If inhaled, radon itself is mostly exhaled immediately. Its short lived progeny, however, which are solid, tend to be deposited on the bronchial epithelium, thus exposing cells to  $\alpha$  irradiation.

Air pollution by radon is ubiquitous. Concentrations are low outdoors but can build up indoors, especially in homes, where most exposure of the general population occurs. The highest concentrations to which workers have been routinely exposed occur underground, particularly in uranium mines. Studies of exposed miners have consistently found associations between radon and lung cancer.<sup>2,3</sup> Extrapolation from these studies suggests that in many countries residential radon, which involves lower exposure in much larger numbers of people, could cause a substantial minority of all lung cancers. This is of practical relevance because radon concentrations in existing buildings can usually be reduced at moderate cost—for example, by increasing underfloor ventilation—while low concentrations can usually be ensured at reasonable or low cost in new buildings—for example, by installing a radon proof barrier at ground level. These extrapolations, however, depend on uncertain assumptions because the levels of exposure in miners that produced evident risk were usually much higher, lasted only a few years, and took place under different particulate air and other conditions.<sup>1-3</sup> Moreover, history on smoking is often lacking, or limited, in the studies of miners and some miners were also exposed to other lung carcinogens such as arsenic.

Studies to estimate directly the risk of lung cancer associated with residential radon exposure over several decades have been conducted in many European countries. Individually these studies have not been large enough to assess moderate risks reliably. Greater statistical power can be achieved by combining information from several studies, but this cannot be done satisfactorily from published information. Urban areas tend to have lower radon concentrations than rural ones as the underlying rock is usually sedimentary and more people live upstairs in apartments. Urban areas also usually have a higher prevalence of smoking. Hence, radon concentrations in homes tend to be negatively correlated with smoking,<sup>4-6</sup> and a large dataset is needed to correct for this reliably. We therefore brought together and reanalysed individual data from all European studies of residential radon and lung cancer that satisfied certain criteria.

## Abstract

**Objective** To determine the risk of lung cancer associated with exposure at home to the radioactive disintegration products of naturally occurring radon gas

**Design** Collaborative analysis of individual data from 13 case-control studies of residential radon and lung cancer.

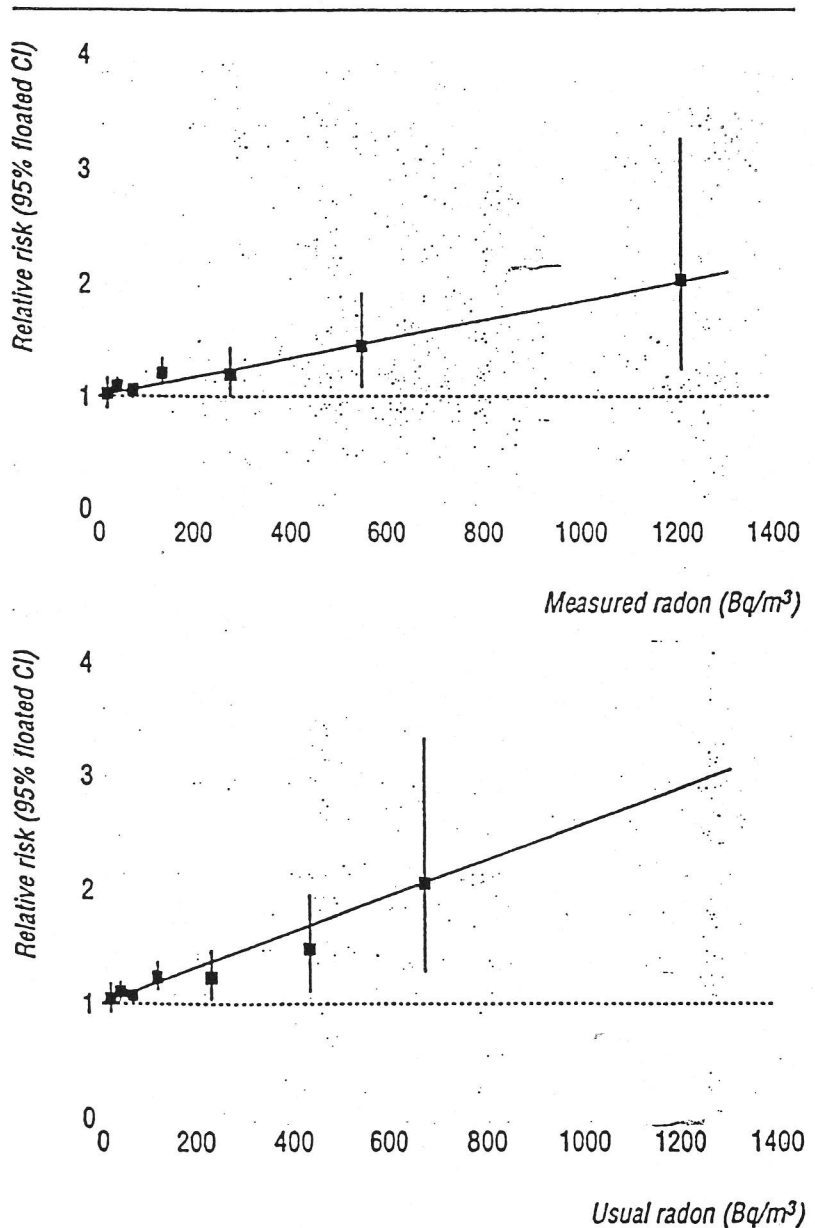
**Setting** Nine European countries.

**Subjects** 7148 cases of lung cancer and 14 208 controls.

**Main outcome measures** Relative risks of lung cancer and radon gas concentrations in homes inhabited during the previous 5-34 years measured in becquerels (radon disintegrations per second) per cubic metre ( $\text{Bq}/\text{m}^3$ ) of household air.

**Results** The mean measured radon concentration in homes of people in the control group was  $97 \text{ Bq}/\text{m}^3$ , with 11% measuring  $> 200$  and 4% measuring  $> 400 \text{ Bq}/\text{m}^3$ . For cases of lung cancer the mean concentration was  $104 \text{ Bq}/\text{m}^3$ . The risk of lung cancer increased by 8.4% (95% confidence interval 3.0% to 15.8%) per  $100 \text{ Bq}/\text{m}^3$  increase in measured radon ( $P = 0.0007$ ). This corresponds to an increase of 16% (5% to 31%) per  $100 \text{ Bq}/\text{m}^3$  increase in usual radon—that is, after correction for the dilution caused by random uncertainties in measuring radon concentrations. The dose-response relation seemed to be linear with no threshold and remained significant ( $P = 0.04$ ) in analyses limited to individuals from homes with measured radon  $< 200 \text{ Bq}/\text{m}^3$ . The proportionate excess risk did not differ significantly with study, age, sex, or smoking. In the absence of other causes of death, the absolute risks of lung cancer by age 75 years at usual radon concentrations of 0, 100, and  $400 \text{ Bq}/\text{m}^3$  would be about 0.4%, 0.5%, and 0.7%, respectively, for lifelong non-smokers, and about 25 times greater (10%, 12%, and 16%) for cigarette smokers.

**Conclusions** Collectively, though not separately, these studies show appreciable hazards from residential radon, particularly for smokers and recent ex-smokers, and indicate that it is responsible for about 2% of all deaths from cancer in Europe.



**Fig 1** Relative risk of lung cancer according to measured residential radon concentration and usual residential radon concentration, with best fitting straight lines (risks are relative to that at 0 Bq/m<sup>3</sup>)

**Table 2** Relative risk of lung cancer by radon concentration (Bq/m<sup>3</sup>) in homes 5-34 years previously

Range of measured values	Mean (Bq/m <sup>3</sup> )		No of lung cancer cases/controls	Relative risk (95% floated CI)
	Measured values	Estimated usual values		
<25	17	21	566/1474	1.00 (0.87 to 1.15)
25-49	39	42	1999/3905	1.06 (0.98 to 1.15)
50-99	71	69	2618/5033	1.03 (0.96 to 1.10)
100-199	136	119	1296/2247	1.20 (1.08 to 1.32)
200-399	273	236	434/936	1.18 (0.99 to 1.42)
400-799	542	433	169/498	1.43 (1.06 to 1.92)
≥800	1204	678	66/115	2.02 (1.24 to 3.31)
Total	104/97*	90/86*	7148/14 208	—

\*Cases/controls. Weighted average for controls, with weights proportional to study specific numbers of cases. Note that as random variation in measured values is approximately logarithmic (so measurement twice as big as usual value is about as likely as measurement half as big as usual value), means of measured values slightly exceed means of estimated usual values.

## **What is already known on this topic**

Exposure to the natural radioactive gas radon and its disintegration products can cause lung cancer

Exposure to radon gas in the home accounts for about half of all non-medical exposure to ionising radiation

High radon concentrations can be reduced in existing houses at moderate cost, and low concentrations can usually be ensured in new buildings at reasonable or low cost

## **What this study adds**

After detailed stratification for smoking, there was strong evidence of an association between the radon concentration at home and lung cancer

The dose-response relation seemed to be linear, with no evidence of a threshold dose, and there was a significant dose-response relation even below currently recommended action levels

The absolute risk to smokers and recent ex-smokers was much greater than to lifelong non-smokers

Radon in the home accounts for about 9% of deaths from lung cancer and about 2% of all deaths from cancer in Europe

#### 4. Interventions et Niveau d'action

Niveaux-puissés = Action level

CHDIX ARBITRAIRES (C.I.R) 3-10mSv/an

Ceci représente 200-600 Bq/m<sup>3</sup> (exp. continue)

- CEE → 200 Bq/m<sup>3</sup> pour nouvelles constructions
- intervention (ex. drainage) > 400 Bq/m<sup>3</sup>

→ lieux de travail (non p.p.e.)

Soit 500-1500 Bq/m<sup>3</sup> (2000h travail/an)

$$= (200 \rightarrow 600) \times \frac{7000}{2000} \times \frac{1.1}{1.43}$$

EPA: 160 Bq/m<sup>3</sup>  
↳ concerne 10% hab. + risque 30%

→ que faire si > A.L ??

abattre les murs  
supprimer de l'emploi ...

devenir p.p.e.

↓  
Action sur  
exp. moyenne

→ grande difficulté de définir les objectifs

gds chantiers → long follow-up

Zones btrs vs zones rémoins

ex: RR à 200 Bq/m<sup>3</sup> 1.19 → Exp. domestique

Niveau ERR = 0.31 (120 WLM) → (0.047 n°os vs 310 att.)

s'agit d'un risque 1.34 % par WLM

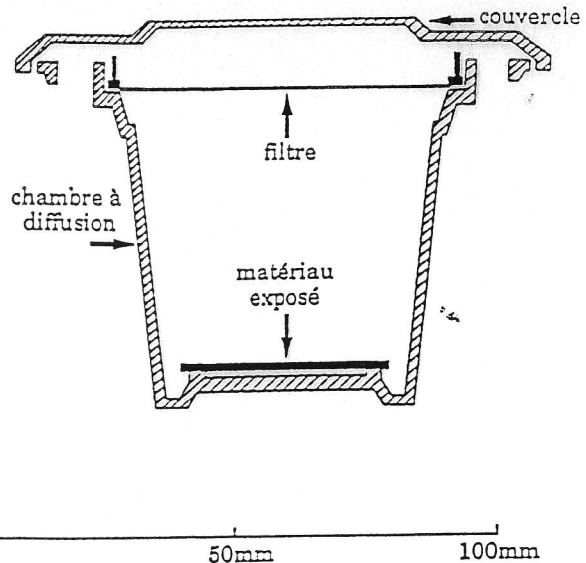
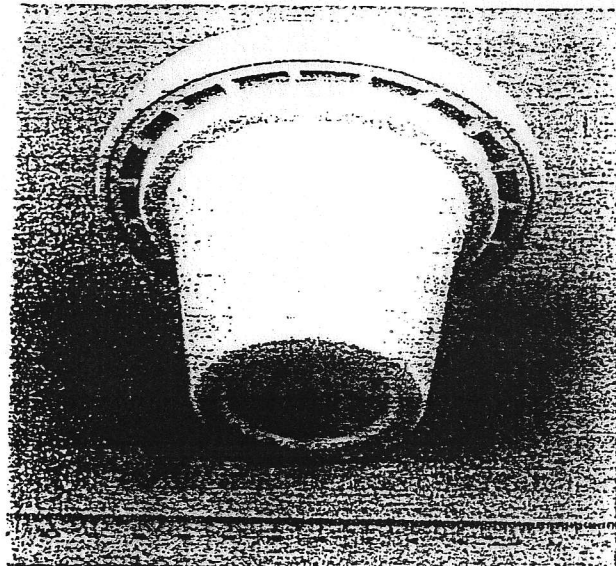


Fig. 3

#### Détecteur à traces pour la mesure de la concentration du radon dans les habitations

La cellule se présente comme un petit pot en matière plastique. Sous le couvercle est disposé un filtre en fibre de verre qui est perméable au radon mais qui retient la poussière et empêche le passage d'une grande partie du thoron et des produits de filiation du radon et du thoron. Un film sensible (Makrofol 300 µm) est placé dans le fond de la cellule. Le passage d'une particule fortement ionisante donne naissance à une trace microscopique dans le film. Les traces ont un diamètre de 5 à 10 nanomètres ; elles peuvent être rendues visibles grâce à un traitement chimique qui attaque spécifiquement les zones touchées du film. Le nombre de traces est proportionnel à la concentration moyenne du radon pendant la durée de l'exposition. Les détecteurs à traces sont exposés dans les habitations durant une période de quelques mois (habuellement six mois) (5, 6).

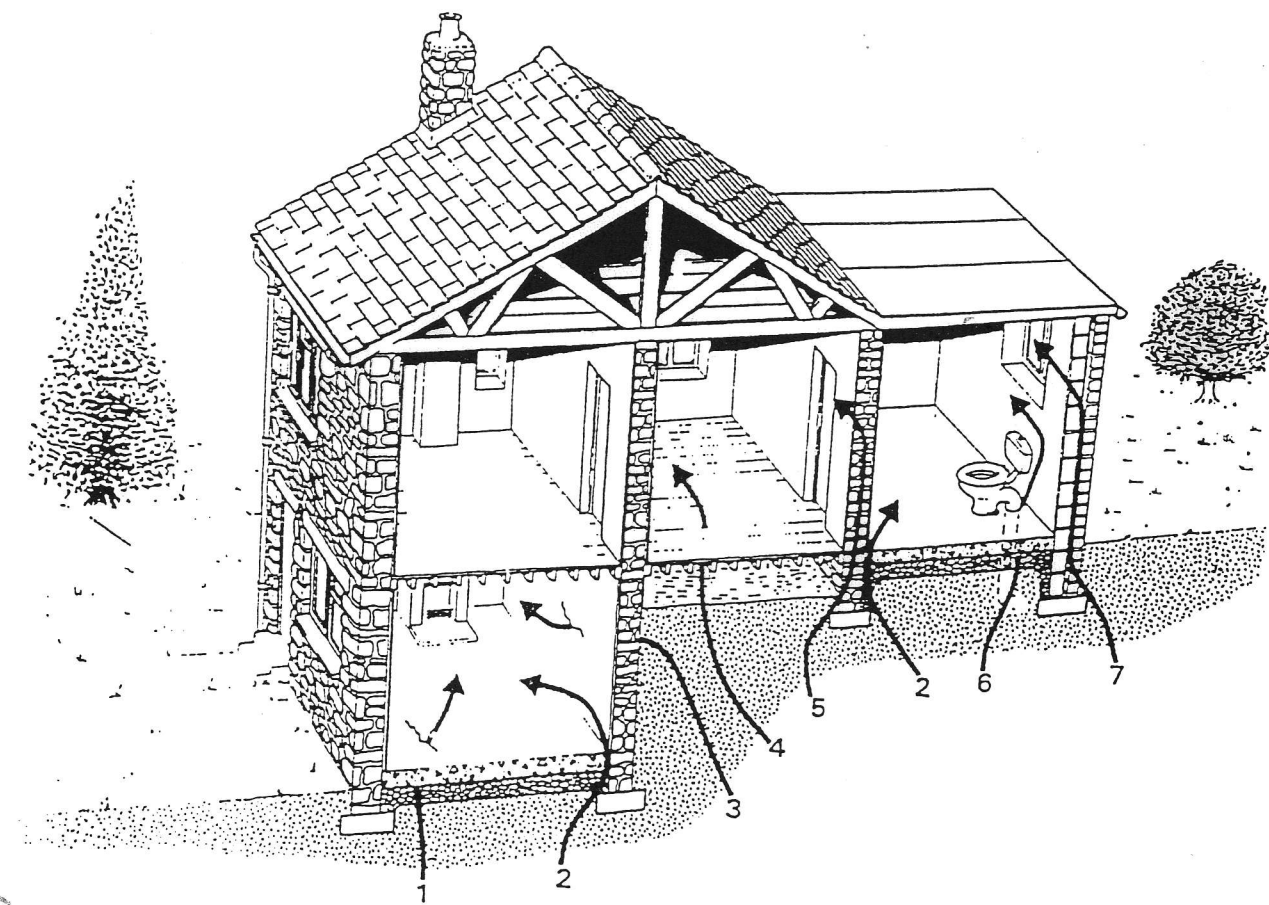


Fig. 4

La figure présente les principales voies de pénétration du radon à l'intérieur des maisons :

- (1) fissures dans le sol
- (2) joints non étanches entre le sol et les murs
- (3) fissures dans les murs des caves
- (4) vides ventilés
- (5) fissures dans les murs
- (6) manque d'étanchéité autour des tuyaux et canalisations
- (7) vides ventilés dans les murs (10).

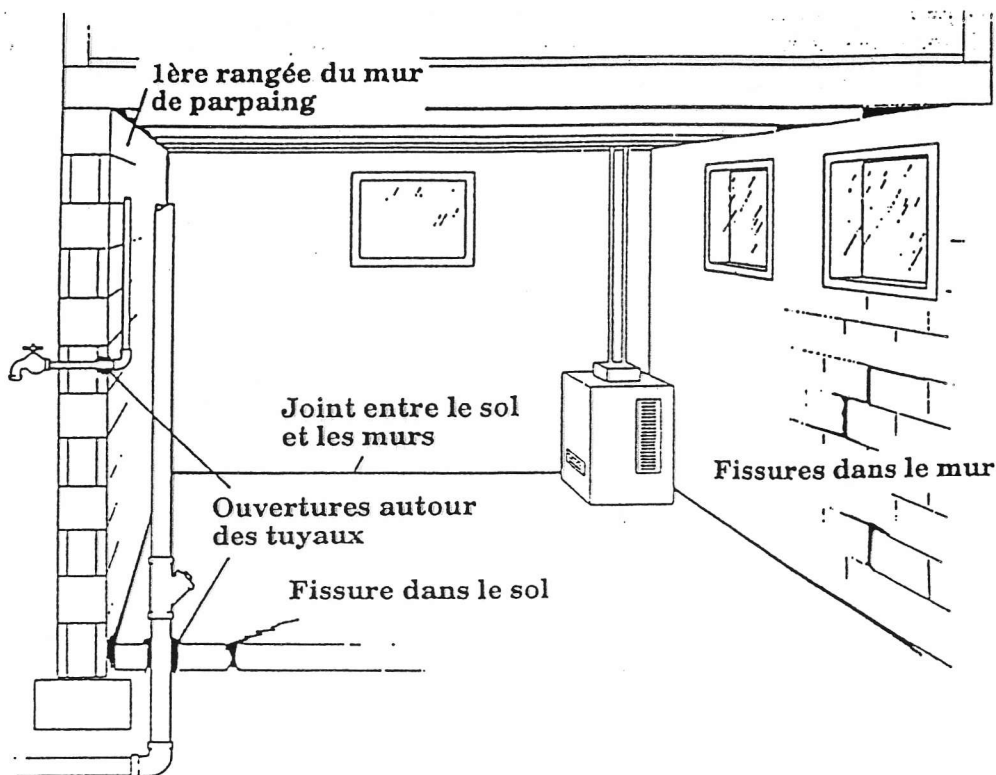


Fig. 5

Méthode pour réduire la concentration de radon dans les maisons : obturation des fissures et orifices

Le radon est un gaz qui peut passer à travers n'importe quelle ouverture dans un plancher ou dans un mur en contact avec le sol. Il peut pénétrer dans la maison par les ouvertures au niveau des canalisations, les joints entre le sol des caves et les murs, les trous au niveau de la rangée supérieure des parpaings de béton. L'étanchéification de ces fissures et de ces orifices constitue souvent une étape préliminaire essentielle lorsque l'on utilise d'autres méthodes. Dans les maisons pour lesquelles le radon constitue un problème marginal, l'étanchéification seule peut suffire. Dans certaines maisons, il est difficile, voire impossible d'étanchéifier certaines zones, si ce n'est au prix de dépenses importantes. Le travail sera généralement effectué de façon plus efficace s'il est confié à des professionnels compétents et expérimentés (9).

#### Le ventilateur extérieur aspire le radon hors de la maison

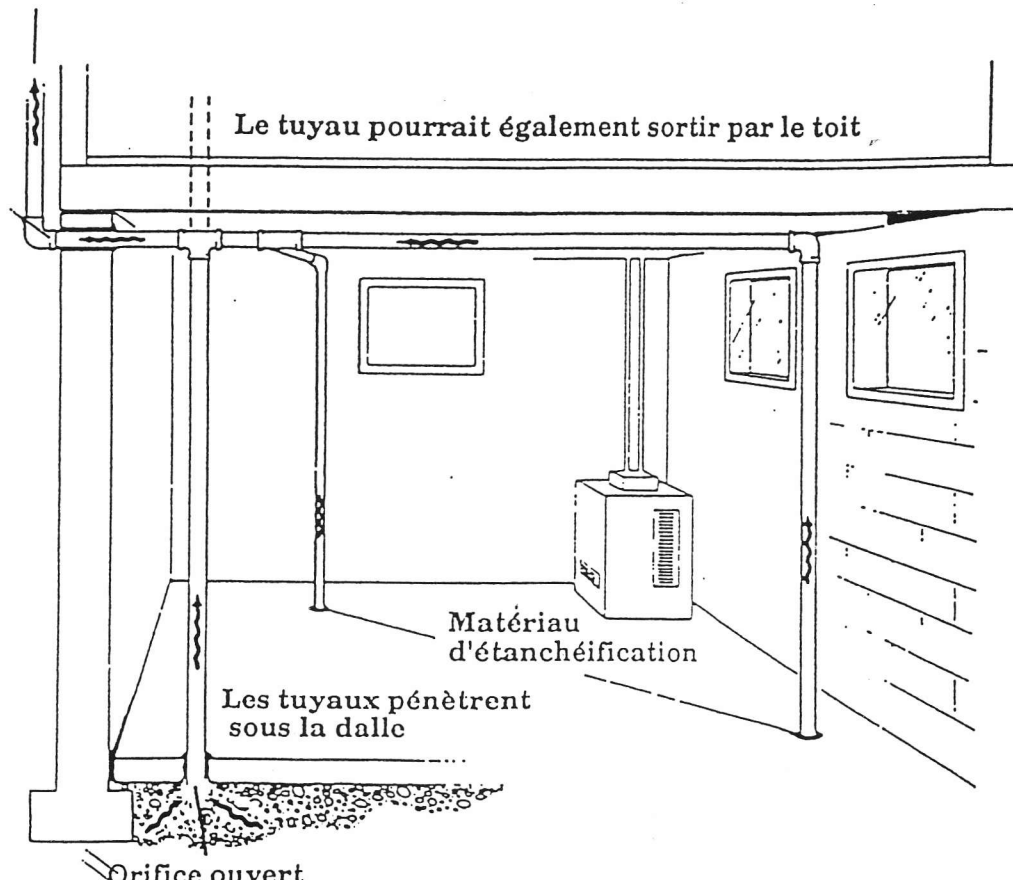


Fig. 6

Méthode pour réduire la concentration de radon dans les maisons : aspiration sous la dalle.

Le plancher du niveau le plus bas de nombreuses maisons (qui n'ont pas de vide venturi) consiste en une dalle de béton coulée sur la terre ou sur une couche de pierres concassées (agrégat). Le radon peut être aspiré sous la dalle et évacué loin de la maison. Cette technique peut réduire le taux de radon à l'intérieur de la maison de 50 à 99 %. Elles sont une des plus largement utilisées. Elle est particulièrement appropriée dans le cas où les fondations sont construites sur un bon agrégat ou sur un sol très perméable (9).

## Modèles d'action

1) établir un cadastre : répasse - cartographie  
détecteurs à trace - clavier actif

2) réduire [ ] des bâtiments existants

→ Pas de firms en Belgique → expérience

→ vérification

estimation des firms

→ aspiration sous la dalle des fondations

→ matériaux de construction

3, stimuler l'utilisation de techniques ad hoc pour constructions  
future , en particulier dans zones à risques

4) information du public sur les risques et les mesures

5) information du secteur de la construction ("Amatij")  
" " ("Priory")

6) contrôle de qualité "Agreement"



7) INSURGÉRITÉ définit un seuil